

Calculs haute performance en algèbre linéaire exacte

Pascal Giorgi



Symbolic Computation Group,
School of Computer Science,
University of Waterloo, Canada

10 mai 2005

Séminaire CALFOR,
LIP6 - Université Pierre et Marie Curie, Paris VI

Motivations

L'algèbre linéaire exacte est un outil de calcul répandu.

Applications en calcul formel :

- ▶ bases de Gröbner [Faugère LIP6],
rang, triangularisation
- ▶ cryptographie [Thomé 2003],
systèmes linéaires creux ($1.033.593 \times 766.150$)
- ▶ combinatoire, topologie algébrique [Dumas 2000],
forme de Smith (376.320×117.600)
- ▶ programmation linéaire [contact EDF],
systèmes linéaires diophantiens (50.000×50.000)
- ▶ ...

Diversité des problèmes

$$A = \begin{bmatrix} -289 & 236 & 79 & -268 \\ 108 & -33 & -211 & 309 \\ -489 & 104 & -24 & -25 \\ 308 & 99 & -108 & 66 \end{bmatrix}, b = \begin{bmatrix} -131 \\ 321 \\ 147 \\ 43 \end{bmatrix}.$$

Diversité des problèmes

$$A = \begin{bmatrix} -289 & 236 & 79 & -268 \\ 108 & -33 & -211 & 309 \\ -489 & 104 & -24 & -25 \\ 308 & 99 & -108 & 66 \end{bmatrix}, b = \begin{bmatrix} -131 \\ 321 \\ 147 \\ 43 \end{bmatrix}.$$

solution sur \mathbb{Z}_{1009}

$$x = \begin{bmatrix} 593 \\ 313 \\ 130 \\ 187 \end{bmatrix},$$

Diversité des problèmes

$$A = \begin{bmatrix} -289 & 236 & 79 & -268 \\ 108 & -33 & -211 & 309 \\ -489 & 104 & -24 & -25 \\ 308 & 99 & -108 & 66 \end{bmatrix}, b = \begin{bmatrix} -131 \\ 321 \\ 147 \\ 43 \end{bmatrix}.$$

solution sur \mathbb{Z}_{1009}

$$x = \begin{bmatrix} 593 \\ 313 \\ 130 \\ 187 \end{bmatrix},$$

solution sur \mathbb{Q}

$$x = \begin{bmatrix} \frac{-9591197817}{95078} \\ \frac{131244}{47539} \\ \frac{2909895}{665546} \\ \frac{2909895}{665546} \end{bmatrix},$$

Diversité des problèmes

$$A = \begin{bmatrix} -289 & 236 & 79 & -268 \\ 108 & -33 & -211 & 309 \\ -489 & 104 & -24 & -25 \\ 308 & 99 & -108 & 66 \end{bmatrix}, b = \begin{bmatrix} -131 \\ 321 \\ 147 \\ 43 \end{bmatrix}.$$

solution sur \mathbb{Z}_{1009}

$$x = \begin{bmatrix} 593 \\ 313 \\ 130 \\ 187 \end{bmatrix},$$

solution sur \mathbb{Q}

$$x = \begin{bmatrix} \frac{-9591197817}{95078} \\ \frac{131244}{47539} \\ \frac{2909895}{665546} \\ \frac{2909895}{665546} \end{bmatrix},$$

solution sur \mathbb{Z}

$$x = \begin{bmatrix} -106495695463 \\ -2208888459779 \\ -4204431397194 \\ -3069666048124 \end{bmatrix}$$

Diversité des problèmes

$$A = \begin{bmatrix} -289 & 236 & 79 & -268 \\ 108 & -33 & -211 & 309 \\ -489 & 104 & -24 & -25 \\ 308 & 99 & -108 & 66 \end{bmatrix}, b = \begin{bmatrix} -131 \\ 321 \\ 147 \\ 43 \end{bmatrix}.$$

solution sur \mathbb{Z}_{1009}

$$x = \begin{bmatrix} 593 \\ 313 \\ 130 \\ 187 \end{bmatrix},$$

solution sur \mathbb{Q}

$$x = \begin{bmatrix} \frac{-9591197817}{95078} \\ \frac{131244}{47539} \\ \frac{2909895}{665546} \\ \frac{2909895}{665546} \end{bmatrix},$$

solution sur \mathbb{Z}

$$x = \begin{bmatrix} -106495695463 \\ -2208888459779 \\ -4204431397194 \\ -3069666048124 \end{bmatrix}$$

A peut être creuse (seulement $O(n)$ éléments non nuls)



problème d'optimisation (emploi du temps)
 3202×4048 , ≈ 19000 coeff. non nuls.

Diversité des problèmes

$$A = \begin{bmatrix} -289 & 236 & 79 & -268 \\ 108 & -33 & -211 & 309 \\ -489 & 104 & -24 & -25 \\ 308 & 99 & -108 & 66 \end{bmatrix}, b = \begin{bmatrix} -131 \\ 321 \\ 147 \\ 43 \end{bmatrix}.$$

solution sur \mathbb{Z}_{1009}

$$x = \begin{bmatrix} 593 \\ 313 \\ 130 \\ 187 \end{bmatrix},$$

solution sur \mathbb{Q}

$$x = \begin{bmatrix} \frac{-9591197817}{95078} \\ \frac{131244}{47539} \\ \frac{2909895}{665546} \\ \frac{2909895}{665546} \end{bmatrix},$$

solution sur \mathbb{Z}

$$x = \begin{bmatrix} -106495695463 \\ -2208888459779 \\ -4204431397194 \\ -3069666048124 \end{bmatrix}$$

A peut être creuse (seulement $O(n)$ éléments non nuls)



problème d'optimisation (emploi du temps)
 3202×4048 , ≈ 19000 coeff. non nuls.

Aujourd'hui, il existe des algorithmes efficaces pour résoudre certains problèmes d'algèbre linéaire exacte

De réelles attentes...

Les gains algorithmiques récents sont importants (**gains linéaires, algorithmes optimaux**).

Des logiciels généralistes comme MAPLE ou MATHEMATICA ne sont plus dominants.

Existence de bibliothèques spécialisées très performantes :

- ▶ **GMP** : arithmétiques multiprécisions (entiers, rationnels, flottants).
- ▶ **NTL** : arithmétiques des polynômes, des corps finis.
- ▶ **BLAS/LAPACK** : algèbre linéaire numérique.

De réelles attentes...

Les gains algorithmiques récents sont importants (**gains linéaires, algorithmes optimaux**).

Des logiciels généralistes comme MAPLE ou MATHEMATICA ne sont plus dominants.

Existence de bibliothèques spécialisées très performantes :

- ▶ **GMP** : arithmétiques multiprécisions (entiers, rationnels, flottants).
- ▶ **NTL** : arithmétiques des polynômes, des corps finis.
- ▶ **BLAS/LAPACK** : algèbre linéaire numérique.

algorithmes récents + bibliothèques de calcul spécialisées
⇒ **calcul en algèbre linéaire exacte de hautes performances**.

Questions

Comment développer une bibliothèque de calcul de hautes performances en algèbre linéaire exacte ?

Comment bénéficier des performances de bibliothèques spécialisées comme GMP, NTL ou BLAS ?

Quelle stratégie adopter pour profiter au mieux des évolutions futures dans le domaine ?

Plan de l'exposé

Projet LINBOX

Algèbre linéaire dense sur un corps fini

réduction au produit de matrices

paquetages FFLAS-FFPACK

performances

Systèmes linéaires diophantiens

interface LINBOX pour la résolution

performances pour des systèmes denses.

Calcul du déterminant de matrices entières

réduction au produit de matrices

Implantation et performances

Conclusion et perspectives

LINBOX en détails

Projet international [Canada-France-USA](#) (NSF/CNRS).

- ▶ depuis 1997, 33 chercheurs \implies **algèbre linéaire exacte**
- ▶ bibliothèque C++, licence GPL, 100.000 lignes de code, version développement 0.2.1 (avril 2005)
- ▶ site web : *www.linalg.org*

Principaux développements :

- ▶ **algorithmes** (systèmes linéaires, formes normales, ...),
- ▶ **matrices** (boîtes noires, conteneurs),
- ▶ **domaines de calcul** (corps finis, entiers, rationnels),
- ▶ **généricité** (plug&play).

Nos travaux :

recherche et implantation d'algorithmes,
développement, validation et maintenance de la bibliothèque.

Solutions algorithmiques dans LINBOX

Sur les corps finis,

- ▶ Gauss par blocs (déterministe) :
triangularisation, déterminant, rang, inverse, systèmes linéaires, polynômes minimal et caractéristique
- ▶ Élimination creuse (déterministe) :
triangularisation, rang
- ▶ Krylov/Wiedemann [blocs], Lanczos [blocs] (probabiliste) :
systèmes linéaires, polynôme minimal, déterminant, rang

Sur les entiers,

- ▶ Théorème des restes chinois
- ▶ Forme de Smith
- ▶ Systèmes linéaires :
*solutions rationnelles, diophantiennes ;
certificat d'inconsistance, minimalité.*

Calculs haute
performance en
algèbre linéaire exacte

Pascal Giorgi

Projet LINBOX

Algèbre linéaire dense
sur un corps fini

réduction prod. matr
FFLAS-FFPACK
performances

Systèmes diophantiens

interface LINBOX
performances

Déterminant

réduction en
pratique ?

Implantation et
performances

Conclusion et
perspectives

Projet LINBOX

Algèbre linéaire dense sur un corps fini

réduction au produit de matrices

paquetages FFLAS-FFPACK

performances

Systèmes linéaires diophantiens

interface LINBOX pour la résolution

performances pour des systèmes denses.

Calcul du déterminant de matrices entières

réduction au produit de matrices

Implantation et performances

Conclusion et perspectives

Algorithmique

Depuis 1969, multiplication de matrices d'ordre n en moins de $O(n^3)$ opérations arithmétiques.

[Strassen 1969] : $O(n^{2.81})$.

...

[Coppersmith-Winograd 1990] : $O(n^{2.37})$

Les meilleurs algorithmes se réduisent à la multiplication de matrices (complexité $O(n^\omega)$).

- ▶ inversion, systèmes linéaires, déterminant [Strassen 1969]
- ▶ extension aux matrices non génériques [Bunch-Hopcroft 1974]
- ▶ matrices singulières : LQUP, rang, noyau [Ibarra-Moran-Hui 1982]

Algorithmique

Depuis 1969, multiplication de matrices d'ordre n en moins de $O(n^3)$ opérations arithmétiques.

[Strassen 1969] : $O(n^{2.81})$.

...

[Coppersmith-Winograd 1990] : $O(n^{2.37})$

Les meilleurs algorithmes se réduisent à la multiplication de matrices (complexité $O(n^\omega)$).

- ▶ inversion, systèmes linéaires, déterminant [Strassen 1969]
- ▶ extension aux matrices non génériques [Bunch-Hopcroft 1974]
- ▶ matrices singulières : LQUP, rang, noyau [Ibarra-Moran-Hui 1982]

la multiplication de matrices est une opération centrale

Bibliothèques BLAS

Calculs numériques pour les opérations de base en algèbre linéaire

- ▶ produit matrice-vecteur,
- ▶ résolution de systèmes linéaires triangulaires,
- ▶ produit de matrices,
- ▶ ...

Collection de routines Fortran/C optimisées.

tire partie de la hiérarchisation mémoire des processeurs.

→ **implantations très performantes**

Bibliothèques BLAS

Calculs numériques pour les opérations de base en algèbre linéaire

- ▶ produit matrice-vecteur,
- ▶ résolution de systèmes linéaires triangulaires,
- ▶ produit de matrices,
- ▶ ...

Collection de routines Fortran/C optimisées.

tire partie de la hiérarchisation mémoire des processeurs.

→ **implantations très performantes**

Est-il possible de réutiliser efficacement les routines BLAS pour des calculs sur les corps finis ?

Multiplication de matrices sur un corps finis

Multiplication de matrices sur \mathbb{Z}_p [Dumas-Gautier-Pernet 2002]
le calcul numérique doit rester exact : $n(p-1)^2 < 2^{53}$

- conversion corps premier \Rightarrow nombres flottants (double)
- multiplication BLAS (routine dgemm)
- conversion nombres flottants \Rightarrow corps premier

Multiplication de matrices sur un corps finis

Multiplication de matrices sur \mathbb{Z}_p [Dumas-Gautier-Pernet 2002]
le calcul numérique doit rester exact : $n(p-1)^2 < 2^{53}$

- conversion corps premier \Rightarrow nombres flottants (double)
- multiplication BLAS (routine dgemm)
- réduction modulo

Amélioration :

corps premiers en nombres flottants (Modular<double>)

\Rightarrow 69s pour des matrices d'ordre 5000 sur \mathbb{Z}_{101}

temps de calcul très proches de ceux de la bibliothèque BLAS.

Systèmes linéaires triangulaires matriciels

Étant données $A, B \in \mathbb{Z}_p^{n \times n}$, A triangulaire.
Calculer $X \in \mathbb{Z}_p^{n \times n}$ tel que $AX = B$.

Conditions d'utilisation des BLAS sur \mathbb{Z}_p :

- ▶ les divisions doivent être exactes.
- ▶ aucun dépassement de capacité (max= 53 bits).
- ▶ utilisation limitée (e.g. $p = 2 \rightarrow n \leq 55$).

Systèmes linéaires triangulaires matriciels

Étant données $A, B \in \mathbb{Z}_p^{n \times n}$, A triangulaire.

Calculer $X \in \mathbb{Z}_p^{n \times n}$ tel que $AX = B$.

Conditions d'utilisation des BLAS sur \mathbb{Z}_p :

- ▶ les divisions doivent être exactes.
- ▶ aucun dépassement de capacité (max= 53 bits).
- ▶ utilisation limitée (e.g. $p = 2 \rightarrow n \leq 55$).

Solution :

algorithme récursif par blocs + seuil de changement

⇒ diminution des dimensions , produit de matrices

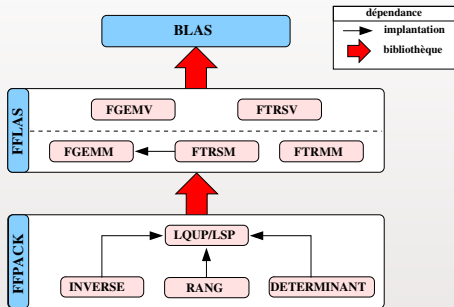
Deux bénéfices apportés par la bibliothèque BLAS :

produit de matrices → appels récursifs

résolution numérique → derniers niveaux récursifs

Implantations FFLAS-FFPACK¹

Collaboration avec J-G. Dumas et C. Pernet (LMC-IMAG)

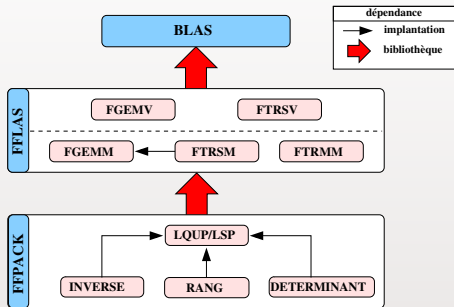


- ▶ routines C++ génériques (corps finis).
- ▶ interface à la BLAS (tableau de données, *stride*).
- ▶ minimisation espace mémoire (calcul en place).
- ▶ dépendances aux BLAS et au produit de matrices `fgemm`.

¹J.-G. Dumas, P. Giorgi and C. Pernet. FFPACK : Finite Field Linear Algebra Package. In *Proceedings of the 2004 International Symposium on Symbolic and Algebraic Computation*, ACM Press New York.

Implantations FFLAS-FFPACK¹

Collaboration avec J-G. Dumas et C. Pernet (LMC-IMAG)



- ▶ routines C++ génériques (corps finis).
- ▶ interface à la BLAS (tableau de données, *stride*).
- ▶ minimisation espace mémoire (calcul en place).
- ▶ dépendances aux BLAS et au produit de matrices `fgemm`.

améliorations BLAS et `fgemm` ⇒ meilleures routines

¹J.-G. Dumas, P. Giorgi and C. Pernet. FFPACK : Finite Field Linear Algebra Package. In *Proceedings of the 2004 International Symposium on Symbolic and Algebraic Computation*, ACM Press New York.

Exemple : code pour l'inversion

Inverse(A) :

décomposer $A = LUP$;

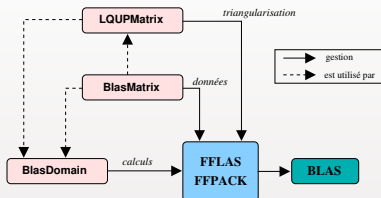
calculer $T = L^{-1}$;

résoudre $UX = T$;

retourner XP^t ;

```
template <class Field>
static typename Field::Element*
Invert(const Field &F, const size_t N,
        typename Field::Element * A, const size_t lda,
        typename Field::Element * X, const size_t ldx,
        int &>nullity)
{
    typename Field::Element one ;
    F.init(one,1);
    size_t *P = new size_t[N];
    size_t *Q = new size_t[N];
    nullity = N - LUdivine(F, FflasNonUnit, N, N, A, lda, P, FflapackLQUP, Q);
    delete[] Q;
    if (nullity > 0)
        return NULL;
    else {
        invL(F, N, A, lda, X, ldx);
        ftrsm(F, FflasLeft, FflasUpper, FflasNoTrans, FflasNonUnit, N, N, one, A, lda, X, ldx);
        applyP(F, FflasLeft, FflasTrans, N, 0, N, X, ldx, P);
        delete[] P;
        return X;
    }
}
```

Une interface dédiée aux non experts...



```
Field F(p);
BlasMatrix<Field::Element> A(n,n), B(n,n), X(n,n);
TriangularBlasMatrix<Field::Element> L(n,n,BlasTag::low,BlasTag::unit);
std::vector<Field::Element> b(n), x(n);

...

BlasMatrixDomain<Field> BMD(F);

BMD.left_solve(X,A,B); // AX=B           BMD.right_solve(X,A,B); // XA=B
BMD.left_solve(x,A,b); // Ax=b          BMD.right_solve(x,A,b); // xA=b
BMD.left_solve(X,L,B); // LX=B          BMD.right_solve(X,L,B); // XL=B
BMD.left_solve(x,L,b); // Lx=b          BMD.right_solve(x,L,b); // xL=b

BMD.mul(X,A,B); // X=A*B
BMD.mul(x,A,b); // x=A*b
BMD.mul(X,L,B); // X=L*B

int r = BMD.rank(A); // r=rang(A)
int r = BMD.rankin(A); // r=rang(A), calcul en place
Element d = BMD.det(A); // d=déterminant(A)
Element d = BMD.detin(A); // d=déterminant(A), calcul en place
```

Calculs haute
performance en
algèbre linéaire exacte

Pascal Giorgi

Projet LINBOX

Algèbre linéaire dense
sur un corps fini
réduction prod. matr
FFLAS-FFPACK
performances

Systèmes diophantiens
interface LINBOX
performances

Déterminant
réduction en
pratique ?
Implantation et
performances

Conclusion et
perspectives

Projet LINBOX

Algèbre linéaire dense sur un corps fini

réduction au produit de matrices

paquetages FFLAS-FFPACK

performances

Systèmes linéaires diophantiens

interface LINBOX pour la résolution

performances pour des systèmes denses.

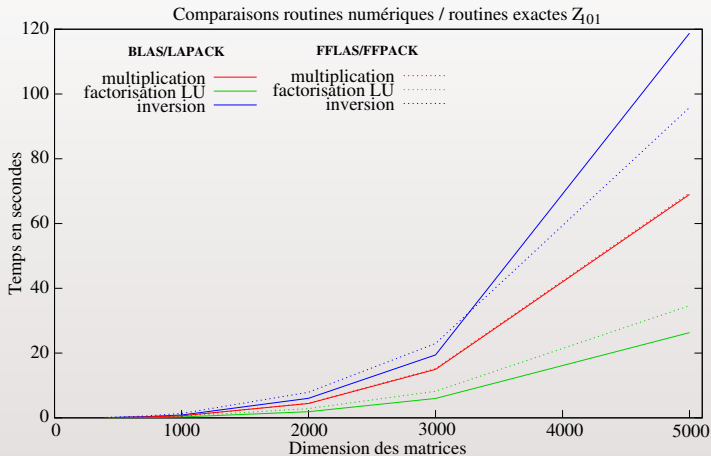
Calcul du déterminant de matrices entières

réduction au produit de matrices

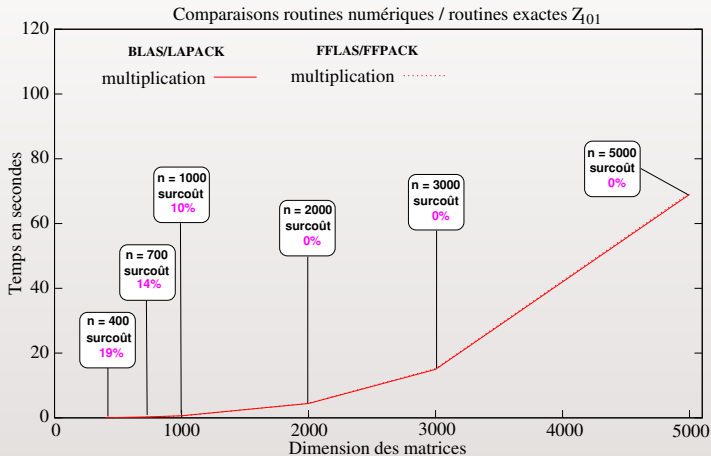
Implantation et performances

Conclusion et perspectives

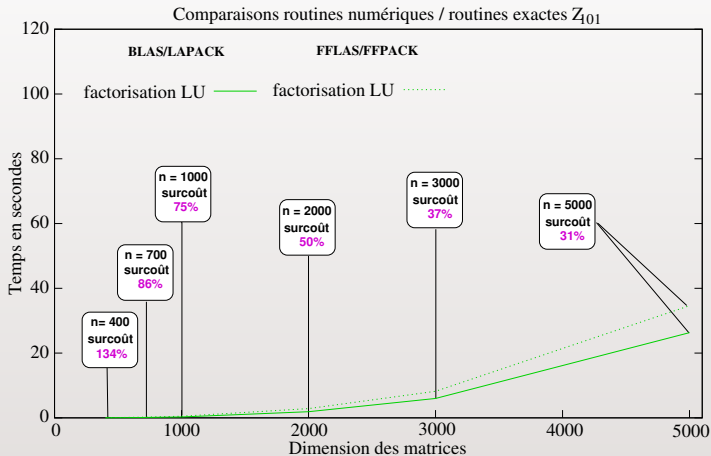
Performances (Pentium Xeon-2.66 Ghz, 1Go RAM)



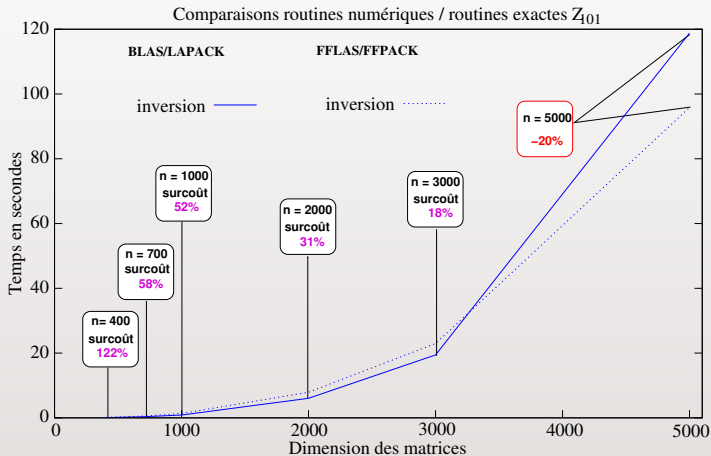
Performances (Pentium Xeon-2.66 Ghz, 1Go RAM)



Performances (Pentium Xeon-2.66 Ghz, 1Go RAM)



Performances (Pentium Xeon-2.66 Ghz, 1Go RAM)



Comportement pratique des réductions théoriques

- coût théorique LQUP/produit matrices ($\omega = 3$) \Rightarrow **1/3**

n	400	700	1000	2000	3000	5000
LQUP	0.04s	0.20s	0.49s	2.85s	8.22s	34.13s
fgemm	0.04s	0.24s	0.66s	4.44s	14.96s	69.19s
Ratio	1	0.83	0.74	0.64	0.55	0.49

- coût théorique inversion/produit matrices ($\omega = 3$) \Rightarrow **1**

n	400	700	1000	2000	3000	5000
inv.	0.14s	0.53s	1.34s	7.93s	22.94s	95.19s
fgemm	0.04s	0.24s	0.66s	4.44s	14.96s	69.19s
Ratio	3.5	2.2	2.03	1.78	1.53	1.37

Les ratios pratiques tendent vers les ratios théoriques.

Comportement pratique des réductions théoriques

- coût théorique LQUP/produit matrices ($\omega = 3$) \Rightarrow **1/3**

<i>n</i>	400	700	1000	2000	3000	5000
LQUP	0.04s	0.20s	0.49s	2.85s	8.22s	34.13s
fgemm	0.04s	0.24s	0.66s	4.44s	14.96s	69.19s
Ratio	1	0.83	0.74	0.64	0.55	0.49

- coût théorique inversion/produit matrices ($\omega = 3$) \Rightarrow **1**

<i>n</i>	400	700	1000	2000	3000	5000
inv.	0.14s	0.53s	1.34s	7.93s	22.94s	95.19s
fgemm	0.04s	0.24s	0.66s	4.44s	14.96s	69.19s
Ratio	3.5	2.2	2.03	1.78	1.53	1.37

Les ratios pratiques tendent vers les ratios théoriques.

LINBOX : calcul de hautes performances...

Calculs haute
performance en
algèbre linéaire exacte

Pascal Giorgi

Projet LINBOX

Algèbre linéaire dense
sur un corps fini
réduction prod. matr
FFLAS-FFPACK
performances

Systèmes diophantiens
interface LINBOX
performances

Déterminant
réduction en
pratique ?
Implantation et
performances

Conclusion et
perspectives

Projet LINBOX

Algèbre linéaire dense sur un corps fini
réduction au produit de matrices
paquetages FFLAS-FFPACK
performances

Systèmes linéaires diophantiens

interface LINBOX pour la résolution
performances pour des systèmes denses.

Calcul du déterminant de matrices entières
réduction au produit de matrices
Implantation et performances

Conclusion et perspectives

Motivations

Problème représentatif de l'algèbre linéaire exacte :

- ▶ plusieurs **niveaux de calcul** (corps finis, entiers, rationnels),
- ▶ plusieurs **méthodes** suivant le type du système (dense, structuré, creux),
- ▶ gestion de la **singularité** des matrices, test d'**inconsistance**,
- ▶ approches **probabilistes** et nombreuses **heuristiques** de calcul.

Motivations

Problème représentatif de l'algèbre linéaire exacte :

- ▶ plusieurs **niveaux de calcul** (corps finis, entiers, rationnels),
- ▶ plusieurs **méthodes** suivant le type du système (dense, structuré, creux),
- ▶ gestion de la **singularité** des matrices, test d'**inconsistance**,
- ▶ approches **probabilistes** et nombreuses **heuristiques** de calcul.

⇒ **Validation des briques de base développées dans LINBOX.**

Problème

Étant donnés $A \in \mathbb{Z}^{m \times n}$, $b \in \mathbb{Z}^m$.

- ▶ trouver $x \in \mathbb{Z}^n$ tel que $Ax = b$,
 - ▶ certifier qu'il n'existe pas de solution diophantienne.
- Approche classique : formes normales (Smith ou Hermite)

Problème

Étant donnés $A \in \mathbb{Z}^{m \times n}$, $b \in \mathbb{Z}^m$.

- ▶ trouver $x \in \mathbb{Z}^n$ tel que $Ax = b$,
 - ▶ certifier qu'il n'existe pas de solution diophantienne.
- Approche classique : formes normales (Smith ou Hermite)
pas satisfaisante $\approx n^4$ opérations binaires.
- solutions rationnelles en $\approx n^3 \log n$ [Dixon 1982, Wiedemann 1986]*

Problème

Étant donnés $A \in \mathbb{Z}^{m \times n}$, $b \in \mathbb{Z}^m$.

- ▶ trouver $x \in \mathbb{Z}^n$ tel que $Ax = b$,
 - ▶ certifier qu'il n'existe pas de solution diophantienne.
- Approche classique : formes normales (Smith ou Hermite)
pas satisfaisante $\approx n^4$ opérations binaires.
- solutions rationnelles en $\approx n^3 \log n$ [Dixon 1982, Wiedemann 1986]*
- Approche probabiliste $\approx (n^3 \log n) \times \log n$ [Giesbrecht 1997]
 \Rightarrow **combiner des solutions rationnelles**

Problème

Étant donnés $A \in \mathbb{Z}^{m \times n}$, $b \in \mathbb{Z}^m$.

- ▶ trouver $x \in \mathbb{Z}^n$ tel que $Ax = b$,
 - ▶ certifier qu'il n'existe pas de solution diophantienne.
- Approche classique : formes normales (Smith ou Hermite)
pas satisfaisante $\approx n^4$ opérations binaires.

solutions rationnelles en $\approx n^3 \log n$ [Dixon 1982, Wiedemann 1986]

- Approche probabiliste $\approx (n^3 \log n) \times \log n$ [Giesbrecht 1997]
 \Rightarrow **combiner des solutions rationnelles**

De nombreuses études algorithmiques :

[Giesbrecht, Lobo, Mulders, Saunders, Storjohann 1997-2004]

\hookrightarrow systèmes creux/denses, inconsistance sur \mathbb{Z} , solution minimale

Combinaisons des solutions rationnelles

$$A = \begin{bmatrix} 11 & 13 & 4 \\ 5 & 7 & 9 \end{bmatrix}, b = \begin{bmatrix} 7 \\ 10 \end{bmatrix}.$$

Combinaisons des solutions rationnelles

$$A = \begin{bmatrix} 11 & 13 & 4 \\ 5 & 7 & 9 \end{bmatrix}, b = \begin{bmatrix} 7 \\ 10 \end{bmatrix}.$$
$$y_1 = \begin{bmatrix} -27/4 \\ 25/4 \\ 0 \end{bmatrix}, y_2 = \begin{bmatrix} 2/3 \\ -1/3 \\ 1 \end{bmatrix} \text{ deux solutions rationnelles.}$$

Combinaisons des solutions rationnelles

$$A = \begin{bmatrix} 11 & 13 & 4 \\ 5 & 7 & 9 \end{bmatrix}, b = \begin{bmatrix} 7 \\ 10 \end{bmatrix}.$$
$$y_1 = \begin{bmatrix} -27/4 \\ 25/4 \\ 0 \end{bmatrix}, y_2 = \begin{bmatrix} 2/3 \\ -1/3 \\ 1 \end{bmatrix} \text{ deux solutions rationnelles.}$$
$$x = 4y_1 - 3y_2 = \begin{bmatrix} -29 \\ 26 \\ -3 \end{bmatrix} \text{ est une solution diophantienne.}$$

Combinaisons des solutions rationnelles

$$A = \begin{bmatrix} 11 & 13 & 4 \\ 5 & 7 & 9 \end{bmatrix}, b = \begin{bmatrix} 7 \\ 10 \end{bmatrix}.$$
$$y_1 = \begin{bmatrix} -27/4 \\ 25/4 \\ 0 \end{bmatrix}, y_2 = \begin{bmatrix} 2/3 \\ -1/3 \\ 1 \end{bmatrix} \text{ deux solutions rationnelles.}$$
$$x = 4y_1 - 3y_2 = \begin{bmatrix} -29 \\ 26 \\ -3 \end{bmatrix} \text{ est une solution diophantienne.}$$

Utilisation de pgcd sur les dénominateurs des solutions.

Soient $y_1 = \frac{\bar{y}_1}{d_1}$, $y_2 = \frac{\bar{y}_2}{d_2}$ avec $\bar{y}_1, \bar{y}_2 \in \mathbb{Z}^n$ et $d_1, d_2 \in \mathbb{Z}$.

Soit $g = \text{pgcd}(d_1, d_2) = sd_1 + td_2$.

Alors

$y = \frac{sd_1\bar{y}_1 + td_2\bar{y}_2}{g}$ est une solution avec un dénominateur $\leq g$.

Combinaisons des solutions rationnelles

$$A = \begin{bmatrix} 11 & 13 & 4 \\ 5 & 7 & 9 \end{bmatrix}, b = \begin{bmatrix} 7 \\ 10 \end{bmatrix}.$$
$$y_1 = \begin{bmatrix} -27/4 \\ 25/4 \\ 0 \end{bmatrix}, y_2 = \begin{bmatrix} 2/3 \\ -1/3 \\ 1 \end{bmatrix} \text{ deux solutions rationnelles.}$$
$$x = 4y_1 - 3y_2 = \begin{bmatrix} -29 \\ 26 \\ -3 \end{bmatrix} \text{ est une solution diophantienne.}$$

Utilisation de pgcd sur les dénominateurs des solutions.

Soient $y_1 = \frac{\bar{y}_1}{d_1}$, $y_2 = \frac{\bar{y}_2}{d_2}$ avec $\bar{y}_1, \bar{y}_2 \in \mathbb{Z}^n$ et $d_1, d_2 \in \mathbb{Z}$.

Soit $g = \text{pgcd}(d_1, d_2) = sd_1 + td_2$.

Alors

$y = \frac{sd_1\bar{y}_1 + td_2\bar{y}_2}{g}$ est une solution avec un dénominateur $\leq g$.

→ nécessite des solutions avec des dénominateurs différents

Dénominateurs et préconditionneurs

Les dénominateurs dépendent du mineur utilisé pour résoudre le système (on se ramène à des systèmes non singuliers).

Dénominateurs et préconditionneurs

Les dénominateurs dépendent du mineur utilisé pour résoudre le système (on se ramène à des systèmes non singuliers).

Utilisation de préconditionneurs aléatoires

⇒ **changement de sous matrice pour déterminer le mineur**

Étant données P, Q deux matrices à coefficients entiers aléatoires

$$PAQx = Pb \rightarrow Ay = b \text{ avec } y = Qx$$

Richesse des préconditionneurs [Chen et al. 2002] :
approche développée par les membres du projet LINBOX.

→ application à un vecteur $\approx n \log n$

Toeplitz, réseaux de permutation, diagonales, creuses

Projet LINBOX

Algèbre linéaire dense sur un corps fini

réduction au produit de matrices
paquetages FFLAS-FFPACK
performances

Systèmes linéaires diophantiens

interface LINBOX pour la résolution
performances pour des systèmes denses.

Calcul du déterminant de matrices entières

réduction au produit de matrices
Implantation et performances

Conclusion et perspectives

Implantation générique

Calculs haute performance en algèbre linéaire exacte

Pascal Giorgi

Projet LINBOX

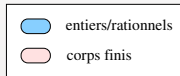
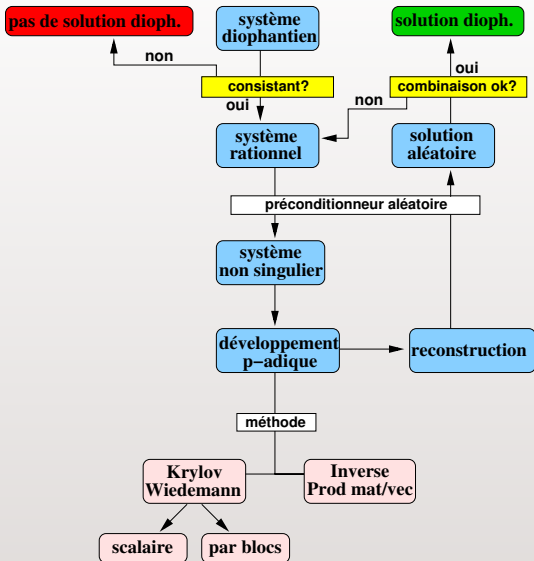
Algèbre linéaire dense sur un corps fini
réduction prod. matr
FFLAS-FPACK
performances

Systèmes diophantiens
interface LINBOX
performances

Déterminant
réduction en pratique ?

Implantation et performances

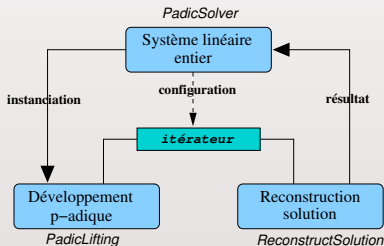
Conclusion et perspectives



Interface de calcul configurable

Fournir une interface de calcul générique :

- ▶ gestion de la singularité, des préconditionneurs,
- ▶ abstraction de la méthode de calcul des chiffres p -adiques,
- ▶ stratégies algorithmiques (Monte Carlo, Las Vegas).



calcul des solutions rationnelles

Opérations clés :

- ▶ préconditionnements :
produit matrice-vecteur (creux, structuré), produit de matrices (dense)
- ▶ calcul d'une sous matrice maximale inversible :
calcul du rang probabiliste (modulo p)
- ▶ développement p -adique [Dixon 1982]
 $A^{-1}b \bmod p^k$ ($k \approx n \log n$)
- ▶ reconstruction de la solution rationnelle [Wang 1981]
 $x = A^{-1}b \in \mathbb{Q}^n$ à partir de $A^{-1}b \bmod p^k$.

Développement p -adique et reconstruction

Calcul itératif des chiffres p -adiques par correction du résidu.

→ système linéaire modulo p , produit matrice-vecteur

implantation :

- calcul hybride « exact/numérique » BLAS,
- représentation q -adique des matrices,
- résolution itérative Krylov/Wiedemann par blocs (Padé matriciel²)

²P. Giorgi, C.-P. Jeannerod and G. Villard. On the complexity of polynomial matrix computations. In *Proceedings of the 2003 International Symposium on Symbolic and Algebraic Computation*, ACM Press New York.

Développement p -adique et reconstruction

Calcul itératif des chiffres p -adiques par correction du résidu.

→ système linéaire modulo p , produit matrice-vecteur

implantation :

- calcul hybride « exact/numérique » BLAS,
- représentation q -adique des matrices,
- résolution itérative Krylov/Wiedemann par blocs (Padé matriciel²)

Construction du développement à partir des chiffres p -adiques.

→ évaluation de polynômes en p

implantation :

- Horner, « pas de bébé/pas de géant », « diviser pour régner ».

²P. Giorgi, C.-P. Jeannerod and G. Villard. On the complexity of polynomial matrix computations. In *Proceedings of the 2003 International Symposium on Symbolic and Algebraic Computation*, ACM Press New York.

Développement p -adique et reconstruction

Calcul itératif des chiffres p -adiques par correction du résidu.

→ système linéaire modulo p , produit matrice-vecteur

implantation :

- calcul hybride « exact/numérique » BLAS,
- représentation q -adique des matrices,
- résolution itérative Krylov/Wiedemann par blocs (Padé matriciel²)

Construction du développement à partir des chiffres p -adiques.

→ évaluation de polynômes en p

implantation :

- Horner, « pas de bébé/pas de géant », « diviser pour régner ».

Reconstruction de la solution → Euclide étendu

implantation :

- Heuristique : Euclide sur une seule composante, produits modulaires.

²P. Giorgi, C.-P. Jeannerod and G. Villard. On the complexity of polynomial matrix computations. In *Proceedings of the 2003 International Symposium on Symbolic and Algebraic Computation*, ACM Press New York.

Calculs haute
performance en
algèbre linéaire exacte

Pascal Giorgi

Projet LINBOX

Algèbre linéaire dense
sur un corps fini
réduction prod. matr
FFLAS-FFPACK
performances

Systèmes diophantiens
interface LINBOX
performances

Déterminant
réduction en
pratique ?
Implantation et
performances

Conclusion et
perspectives

Projet LINBOX

Algèbre linéaire dense sur un corps fini

réduction au produit de matrices
paquetages FFLAS-FFPACK
performances

Systèmes linéaires diophantiens

interface LINBOX pour la résolution
performances pour des systèmes denses.

Calcul du déterminant de matrices entières

réduction au produit de matrices
Implantation et performances

Conclusion et perspectives

Solutions rationnelles en pratique...

Comparaison avec la bibliothèque NTL [www.shoup.net]

Pentium Xeon-2.66Ghz, 1Go RAM, 1Go swap

	coeff. sur 3 bits		coeff. sur 32 bits	
	LINBOX	NTL	LINBOX	NTL
500×500	2.02s	15.95s	14.74s	77.17s
800×800	6.62s	66.50s	48.81s	328.33s
1200×1200	20.41s	228.86s	167.41s	21m
2000×2000	76.87s	17m	628.78s	3h
3000×3000	234.05s	1h	23m	11h

calculs hybrides « exact/numérique »

⇒ amélioration d'un facteur 10 en moyenne.

Rapport solution diophantiennes/solutions rationnelles

Systèmes linéaires entiers aléatoires (coeff. sur 3 bits) :

Pentium Xeon-2.66Ghz, 1Go RAM, 1Go swap

	sol. rationnelle	sol. diophantienne	dioph./ratio.
400×800	3.82s	5.72s	1.49
800×1000	18.15s	27.49s	1.51
1200×1400	51.97s	78.57s	1.51
1200×2000	58.73s	86.17s	1.46

Deux solutions rationnelles \Rightarrow solution diophantienne

Pas de préconditionnement pour la première solution (meilleure performance)

Systèmes diophantiens en pratique...

Comparaison avec la bibliothèque IML [Chen, Storjohann 2004]
⇒ heuristique différente (blocs de solutions)

Pentium Xeon-2.66Ghz, 1Go RAM, 1Go swap

	systèmes linéaires diophantiens			
	coeff. 3 bits		coeff. 100 bits	
	LINBOX	IML	LINBOX	IML
400×800	5.72s	7.18s	95.23s	252.06s
800×1000	27.49s	42.49s	(3) 886.98s	1387.24s
1200×1400	78.57s	124.79s	-	-
1200×2000	86.17s	128.66s	-	-

(..) → nb. combinaisons si $\neq 2$

- → mémoire insuffisante

notre heuristique est plus adaptée lorsque peu de solutions rationnelles sont nécessaires.

Remarque : la comparaison théorique/pratique du nombre d'itérations est à compléter.

Calculs haute
performance en
algèbre linéaire exacte

Pascal Giorgi

Projet LINBOX

Algèbre linéaire dense
sur un corps fini
réduction prod. matr
FFLAS-FFPACK
performances

Systèmes diophantiens
interface LINBOX
performances

Déterminant

réduction en
pratique ?
Implantation et
performances

Conclusion et
perspectives

Projet LINBOX

Algèbre linéaire dense sur un corps fini

réduction au produit de matrices
paquetages FFLAS-FFPACK
performances

Systèmes linéaires diophantiens

interface LINBOX pour la résolution
performances pour des systèmes denses.

Calcul du déterminant de matrices entières

réduction au produit de matrices
Implantation et performances

Conclusion et perspectives

Complexité du déterminant

- ▶ théorème des restes chinois : $\tilde{O}(n^4 \log \|A\|)$
- ▶ systèmes linéaires [Abbott, Bronstein, Mulders 1999] :
 $\tilde{O}(n^4 + n^3 \log \|A\|)$ en moyenne

- ▶ forme de Smith [Eberly, Giebrecht, Villard 2000] : $\tilde{O}(n^{3.5} \log \|A\|)$
- ▶ polynôme minimal [Kaltofen, Villard 2004] : $\tilde{O}(n^{3.2} \log \|A\|)$
- ▶ *high order lifting* [Storjohann 2004] : $\tilde{O}(n^3 \log \|A\|)$

[Storjohann 2004] \longrightarrow réduction au produit de matrices

Calculs haute
performance en
algèbre linéaire exacte

Pascal Giorgi

Projet LINBOX

Algèbre linéaire dense
sur un corps fini
réduction prod. matr
FFLAS-FFPACK
performances

Systèmes diophantiens
interface LINBOX
performances

Déterminant
réduction en
pratique ?

Implantation et
performances

Conclusion et
perspectives

Projet LINBOX

Algèbre linéaire dense sur un corps fini

réduction au produit de matrices

paquetages FFLAS-FFPACK

performances

Systèmes linéaires diophantiens

interface LINBOX pour la résolution

performances pour des systèmes denses.

Calcul du déterminant de matrices entières

réduction au produit de matrices

Implantation et performances

Conclusion et perspectives

Un algorithme de type Las Vegas

Travail en cours (University of Waterloo) en collaboration avec A. Storjohann et Z. Olesh.

Implantation efficace de l'algorithme proposé dans [Storjohann 2004]

Un exemple Maple ...

Calculs haute
performance en
algèbre linéaire exacte

Pascal Giorgi

Projet LINBOX

Algèbre linéaire dense
sur un corps fini
réduction prod. matr
FFLAS-FFPACK
performances

Systèmes diophantiens
interface LINBOX
performances

Déterminant
réduction en
pratique ?

Implantation et
performances

Conclusion et
perspectives

Projet LINBOX

Algèbre linéaire dense sur un corps fini

réduction au produit de matrices

paquetages FFLAS-FFPACK

performances

Systèmes linéaires diophantiens

interface LINBOX pour la résolution

performances pour des systèmes denses.

Calcul du déterminant de matrices entières

réduction au produit de matrices

Implantation et performances

Conclusion et perspectives

Implantation

Développement de routines C

Réutilisation d'IML pour les systèmes linéaires [Dixon 1982] et la forme d'Hermite [Illioopoulos 1989] .

Certification d'unimodularité :

- ▶ *High order lifting* (développement p -adique creux)
→ réduction au produit de matrices

Multiplication de matrices entières :

- ▶ utilisation des BLAS et de GMP,
- ▶ théorème des restes chinois (long long et mpz_t).

Performances

matrices aléatoires à coefficient sur 3 bits (1 seul facteur invariant)

Itanium II- 1.33Ghz, 64Go RAM

ordre de A	det. (bits)	<i>high order lifting</i>		restes chinois	
		Monte Carlo	Las Vegas	temps	premiers
400	2319	2s	21s	8s	133
620	3798	8s	74s	38s	218
1000	6470	26s	236s	204s	372
1620	11 042	2m	15m	21m	639
2000	13 927	3m	25m	52m	808
4000	25 838	21m	6.2h	9.2h	1753
5000	38 139	55m	8.3h	20.6h	2249
10 000	71 182	9h	107.6h	307.1h	4871

La certification du déterminant représente \approx 90% du calcul.

La version avec $k > 1$ est en cours d'amélioration (surcoût faible par rapport à la certification d'unimodularité)

Calculs haute
performance en
algèbre linéaire exacte

Pascal Giorgi

Projet LINBOX

Algèbre linéaire dense
sur un corps fini
réduction prod. matr
FFLAS-FFPACK
performances

Systèmes diophantiens
interface LINBOX
performances

Déterminant
réduction en
pratique ?
Implantation et
performances

Conclusion et
perspectives

Projet LINBOX

Algèbre linéaire dense sur un corps fini
réduction au produit de matrices
paquetages FFLAS-FFPACK
performances

Systèmes linéaires diophantiens
interface LINBOX pour la résolution
performances pour des systèmes denses.

Calcul du déterminant de matrices entières
réduction au produit de matrices
Implantation et performances

Conclusion et perspectives

Calcul hautes performances

- ▶ LINBOX : une bibliothèque d'algèbre linéaire exacte de **hautes performances**.
 - ▶ interface dédiée aux non experts,
 - ▶ large choix d'algorithmes et de solutions,
 - ▶ réutilisation de bibliothèques (BLAS, GMP, ...).
- ▶ Calculs hybrides « exact/numérique » très performants
 - ▶ algèbre linéaire sur un corps premier,
 - ▶ systèmes linéaires denses,
 - ▶ calcul du déterminant (Monte Carlo, Las Vegas).
- ▶ Réduction au produit de matrices entières : efficace en pratique.

Extension de nos travaux

- ▶ Cas creux pour la résolution de systèmes linéaires diophantiens.
⇒ calculs probabilistes (Krylov/Wiedemann), choix des préconditionneurs, sparse BLAS/OSKI.
- ▶ Extension de l'algorithme de Storjohann pour la forme de Smith
- ▶ Mise en place de calculs parallèles (SMP, grappe de pc)
- ▶ Interopérabilité des bibliothèques en calcul formel : projet ROXANE

Calculs haute
performance en
algèbre linéaire exacte

Pascal Giorgi

Projet LINBOX

Algèbre linéaire dense
sur un corps fini

réduction prod. matr

FFLAS-FFPACK

performances

Systèmes diophantiens

interface LINBOX

performances

Déterminant

réduction en
pratique ?

Implantation et
performances

Conclusion et

perspectives

Merci de votre attention...